

## К НЕЛИНЕЙНОЙ ТЕОРИИ ВОЗБУЖДЕНИЯ МОНОХРОМАТИЧЕСКОЙ ПЛАЗМЕННОЙ ВОЛНЫ ЭЛЕКТРОННЫМ ПУЧКОМ

И.Н.Онищенко, А.Р.Линецкий, Н.Г.Мациборко,  
В.Д.Шапиро, В.И.Шевченко

Как известно, при взаимодействии монохроматической волны с плазмой, захват резонансных частиц плазмы в потенциальную яму, созданную волной, приводит к осцилляциям амплитуды волны с характерным временем порядка периода колебаний частиц в яме  $\tau_0 = \frac{1}{k\sqrt{e\phi_0/m}}$  ( $k$  — волновое число,  $\phi_0$  — амплитуда потенциала в волне). Затухание осцилляций происходит в результате фазового "размешивания" захваченных частиц, обусловленного зависимостью периода их колебаний в яме от энергии. Эти особенности взаимодействия монохроматической волны с плазмой были выяснены Мазитовым [1] и О'Нейлом [2], исследовавшими поглощение волны с достаточно малым линейным декрементом  $\gamma_L \tau_0 \ll 1$ . В этом случае удалось получить приближенное аналитическое решение задачи, рассматривая движение резонансных частиц в волне заданной амплитуды, а затем учитывая эффект их обратного влияния на волну.

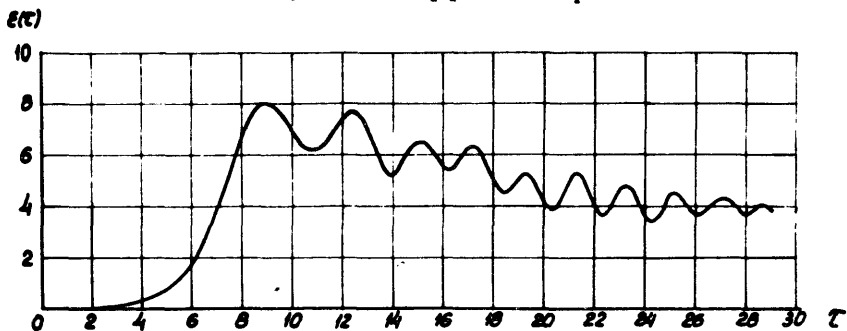


Рис. 1

В настоящей работе мы рассмотрим нелинейную теорию возбуждения пучком монохроматической плазменной волны в двух предельных случаях: "размытого" —  $\Delta v/v_0 \gg (n_1/n_0)^{1/3}$  и "моноэнергетического" —  $\Delta v/v_0 \ll (n_1/n_0)^{1/3}$  электронного пучка ( $\Delta v$  — разброс по скоростям в пучке,  $v_0$  — средняя скорость,  $n_1, n_0$  — плотности пучка и плазмы,  $n_1 \ll n_0$ <sup>1)</sup>). В пучке малой плотности амплитуда возбуждаемой волны также достаточно мала ( $e\phi_0 \ll mv_0^2$ ) и для тепловых частиц, определяющих дисперсию колебаний, применимо линейное приближение. Существенно нелинейно только движение резонансных частиц со скоростями  $|v - v_d| \lesssim (\delta \gamma_L/k)$ , с которыми связана раскачка амплитуды волны ( $v_d = \omega_0/k$  — фазовая скорость волны).

<sup>1)</sup> Во время выполнения настоящей работы авторам стало известно, что нелинейная теория возбуждения монохроматических волн в плазме рассматривается также Р.З.Сагдеевым и Б.Фридом.

В случае "размытого" пучка когда неустойчивость пучка в плазме — кинетическая ( $\gamma_L = \frac{2\pi^2 e^2}{mk} \omega_0 \frac{\partial f}{\partial v_\phi}$ ,  $f_0$  — равновесная функция распределения

резонансных частиц), система уравнений, описывающих возбуждение монохроматической волны, имеет вид:

$$\frac{dv}{dt} = -\frac{e}{\pi} E(t) \sin kz, \quad \frac{dz}{dt} = v, \quad (1)$$

$$\frac{1}{4\pi} E \frac{dE}{dt} = - \overline{i^{\text{pe3}} E(t, z)} = \frac{4\pi e}{\lambda} E(t) \int_{-\lambda/2}^{\lambda/2} dz_0 \int_{-v_0^m}^{v_0^m} dv_0 \sin kz(v + v_\phi) \times \\ \times f_0(v + v_\phi). \quad (2)$$

Уравнения (1), (2), записаны в системе отсчета волны,  $i^{\text{pe3}}$  — ток резонансных частиц, черта соответствует усреднению по длине волны  $\lambda$ ;  $z_0, v_0$  — начальные значения координаты и скорости частицы, находящейся в момент времени  $t$  в точке  $z, v$  фазового пространства. При получении уравнения (2) мы воспользовались теоремой Лиувилля о сохранении фазового объема  $dzdv = dz_0 dv_0$  и условием сохранения функции распределения на траектории частиц  $f(t, z, v + v_\phi) = f_0(v_0 + v_\phi)$  (начальным возмущением равновесной функции распределения в (2) можно пренебречь).

При малых амплитудах, когда ширина области захвата частиц волной намного меньше интервала резонансных скоростей частиц:  $\sqrt{e\phi_0/m} < \gamma_L/k$ , система уравнений (1) — (2) описывает экспоненциальный рост амплитуды при неустойчивости. С течением времени достигаются амплитуды

$$\phi_0 \sim \frac{m\gamma_L^2}{ek^2}, \quad (3)$$

при которых значительная часть резонансных частиц оказывается захваченной в потенциальную яму, созданную волной. Рост колебаний тогда прекращается и за счет захваченных частиц возникают оспилляжи амплитуды, затухающие в результате фазового "размешивания" этих частиц. Оценка максимальной амплитуды колебаний, совпадающая с (3), приводилась ранее в работах [3, 4].

Так как в задаче о возбуждении колебаний нет малого параметра ( $\gamma_L r_0 \gtrsim 1$ ), решение системы уравнений (1) — (2) удастся получить только численными методами. В безразмерных переменных

$$v = \frac{1}{2\pi} \frac{kv}{\gamma_L}, \quad \zeta = \frac{1}{2\pi} kz, \quad \tau = \gamma_L t, \quad \epsilon = \frac{eEk}{m\gamma_L^2}$$

система уравнений (1) – (2) записывается в виде

$$\frac{dv}{dr} = - \frac{\epsilon}{2\pi} \sin 2\pi\zeta, \quad \frac{d\zeta}{dr} = \nu, \quad (4)$$

$$\frac{d\epsilon}{dr} = 16\pi \int_0^{1/2} d\zeta_0 \int_{-\nu_0^m}^{\nu_0^m} d\nu_0 \nu_0 \sin 2\pi\zeta, \quad (5)$$

где воспользовавшись условием  $\Delta v \gg (5\gamma_L/k)$ , мы представили функцию распределения резонансных частиц в виде

$$f_0(v + v_{\zeta_0}) = f_0(v_{\zeta_0}) + v \frac{\partial f_0}{\partial v_{\zeta_0}}$$

и исключили в (5) интеграл по  $\zeta < 0$  с помощью условия:

$$\nu(-\zeta_0, -\nu_0, r) = -\nu(\zeta_0, \nu_0, r), \quad \zeta(-\zeta_0, -\nu_0, r) = -\zeta(\zeta_0, \nu_0, r).$$

Интегрирование системы уравнений (4) – (5) было проведено на ЭВМ. Были проинтегрированы траектории 1528 частиц, начальные скорости которых изменялись в пределах  $-2 \leq \nu_0 \leq 2$  с интервалом  $\Delta\nu_0 = 2/95$  и начальные координаты в пределах  $0 \leq \zeta_0 \leq 1/2$  с интервалом  $\Delta\zeta_0 = 1/14$ . На рис. 1 приведена полученная зависимость  $\epsilon(r)$  при  $\epsilon(0) = 10^{-2}$  и оптимальном шаге  $\Delta r = 5 \cdot 10^{-3}$ . При  $r \leq 7$  эта зависимость носит экспоненциальный характер  $\epsilon \sim \exp(0,89 r)$  (при выбранном значении максимальной скорости резонансных частиц линейный инкремент нарастания  $\gamma = 0,90 \gamma_L$ ). В дальнейшем этот рост замедляется, при  $r = 8,8$  амплитуда колебаний достигает первого максимума  $\epsilon_{max}^{(1)} = 8,2$ , а при больших  $r$  возникают осцилляции амплитуды. Уменьшение среднего значения  $\epsilon$ , относительно которого происходят эти осцилляции, возможно, связано с возникновением неустойчивости захваченных частиц в поле с осциллирующей амплитудой, приводящей к ускорению этих частиц. С ростом  $r$  амплитуда осцилляций уменьшается и при  $r > 25$   $\epsilon$  можно приближенно считать постоянной  $\epsilon_{стац} \approx 4$ , что соответствует энергии колебаний

$$\frac{E^2}{4\pi} = \epsilon_{стац}^2 n_1 n v \Delta v \left( \frac{\gamma_L}{k \Delta v} \right)^4 \quad (6)$$

намного меньшей энергии пучка.

В случае моноэнергетического пучка неустойчивость в первую очередь приводит к возбуждению волны с  $k = \omega_0/v$ , соответствующей максимуму линейного инкремента  $\gamma = 0,886 \omega_0 (n_1/n_0)^{1/3}$ . Частота волны близка к резонансной частоте плазмы и возбуждением высших гармоник с частотой  $\omega = n\omega_0$ ,

$n \geq 2$  можно пренебречь (их амплитуда  $E_n \sim E_1 (\gamma/\omega)$ ). Представляя электрическое поле волны в виде

$$E(t, z) = E(t) \sin[k(z - vt) + \alpha(t)] \quad (7)$$

и учитывая, что в случае "моноэнергетического" пучка изменение со временем не только амплитуды волны  $E$ , но и фазы  $\alpha$ , определяется взаимодействием частиц пучка с волной, получим следующую систему уравнений для амплитуды и фазы

$$\frac{d\epsilon}{dr} = -\epsilon \sin(2\pi\zeta + \alpha); \quad \frac{d\zeta}{dr} = \frac{1}{2\pi} u, \quad (8)$$

$$\frac{d\epsilon}{dr} = \int_{-1/2}^{1/2} \sin(2\pi\zeta + \alpha) d\zeta_0; \quad (9)$$

$$\left(\frac{d\alpha}{dr} - \delta\right)\epsilon = \int_{-1/2}^{1/2} \cos(2\pi\zeta + \alpha) d\zeta_0. \quad (10)$$

В этих уравнениях использованы безразмерные переменные

$$r = \omega_0 \left(\frac{n_1}{n_0}\right)^{1/3} t; \quad \delta = \frac{\omega_0 - kv_0}{\omega_0 \left(\frac{n_1}{n_0}\right)^{1/3}}; \quad \zeta = \frac{z - v_0 t}{\lambda}; \quad u = \frac{v - v_0}{v_0 \left(\frac{n_1}{n_0}\right)^{1/3}};$$

$$\epsilon = \frac{E}{\sqrt{4\pi n_1 m v_0^2 \left(\frac{n_1}{n_0}\right)^{1/3}}}$$

при их получении предполагалось, что при  $t = 0$  пучок имеет "δ-образное" распределение по скоростям  $f_0(t=0) = n_1 \delta(v - v_0)$ . Система уравнений (8) – (10)

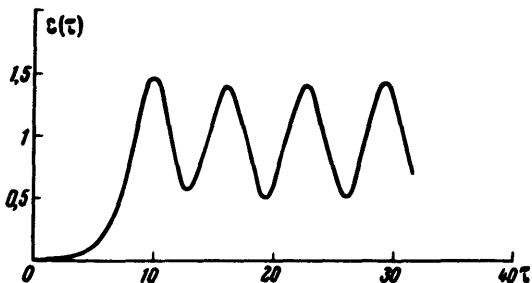


Рис. 2

интегрировалась методом Рунге – Кутты при  $\delta = 0$ ,  $\epsilon_0 = 10^{-2}$ . Были проинтегрированы траектории 100 частиц с начальными  $-1/2 \leq \zeta_0 \leq 1/2$ . Результаты этого интегрирования представлены на рис. 2. При  $\epsilon \ll 1$  имеет место экспоненциальный рост амплитуды, соответствующий линейной теории

( $\epsilon \sim \exp(0,683 \tau)$ ). При  $\epsilon \sim 1$  возникают осцилляции амплитуды, обусловленные захватом пучка в потенциальную яму волны. Заметного затухания осцилляций, связанного с фазовым "размешиванием" захваченных частиц в этом случае не происходит. Энергия волны, возбуждаемой моноэнергетическим пучком, оказывается весьма значительной

$$\frac{E^2}{4\pi} = \epsilon^2 n_1 n_0 v_0^2 \left(\frac{n_1}{n_0}\right)^{1/3} \quad (11)$$

где  $\epsilon$  изменяется в пределах  $1,5 + 0,5$ .

Автор благодарен: С.Б.Чайнбергу, Г.И.Любарскому за ценные замечания, А.А.Еденову, Ф.Б.Кадоцкому, Ф.З.Сагдееву за обсуждение настоящей работы, П.М.Лебедеву — за помощь в вычислениях.

Физико-технический институт  
Академии наук Украинской ССР

Поступила в редакцию  
31 августа 1970 г.

#### Литература

- [1] Ф.Мазитов. ПМТФ, вып. 1, 27, 1965.
- [2] Th'O'Neil. Phys. Fluids, 8, 2255, 1965.
- [3] А.Л.Гуревич. ЖЭТФ, 54, 522, 1968.
- [4] В.Д.Папиро, В.И.Шевченко. Укр. фіз. журнал, 13, 1989, 1968.